

УДК 539.375

© 1994 г. В. М. КОРНЕВ, Ю. В. ТИХОМИРОВ

## О КРИТЕРИИ ХРУПКОГО РАЗРУШЕНИЯ ТЕЛ С ТРЕЩИНОЙ ПРИ НАЛИЧИИ ДЕФЕКТА АТОМНОЙ РЕШЕТКИ

В работах [1, 2] В. В. Новожилов, рассматривая разрушение как дискретный процесс, предложил для оценки прочности хрупкого упругого твердого тела в окрестностях сингулярных точек поля напряжений осреднять последние в пределах одного атома. Выведенный таким путем критерий хрупкой прочности был применен в [2] к решению задачи Гриффитса о растяжении упругой плоскости, ослабленной разрезом конечной длины.

В общем случае упругой среды со структурой критерий Новожилова связан с некоторым согласованным параметром среды, характеризующим ее дискретность. Соответствующая формулировка критерия позволила оценить критические характеристики в ряде задач статического и динамического разрушения [3—9].

В [3] указывается, что при хрупком разрушении для сред с правильной структурой в качестве структурного параметра следует выбирать величину межатомного расстояния. Так поступил В. В. Новожилов [2], исходя из физических представлений об атомном строении твердых тел. В [10] его подход к разрушению и решение задачи Гриффитса были количественно проанализированы по схеме [2] на основе реалистичных центральных парных межатомных потенциалов и дискретно-континуальной модели трещины [11], отличной от использованной в [2] модели Леонова — Панасюка [12].

В [2, 10] среда (кристаллическая решетка) всюду вне единственного дефекта (трещины) считалась правильной (идеальной). Идя по пути приближения модели к тому, что в физике называют реальным кристаллом ([13], гл. 1), следует предположить присутствие в теле в определенной концентрации других структурных дефектов.

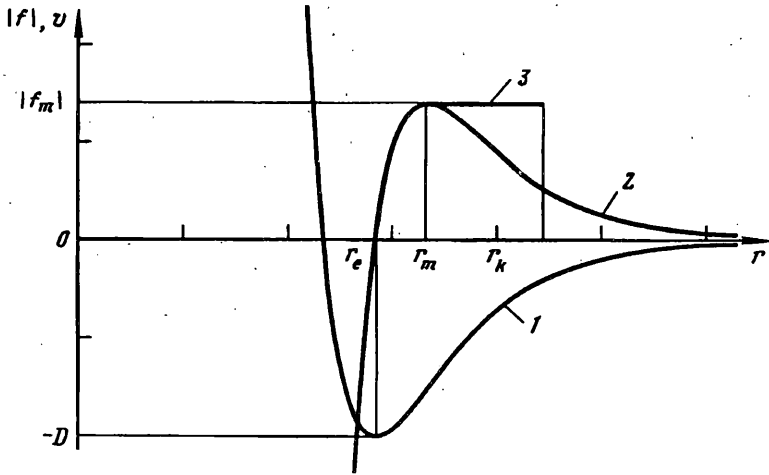
Влияние дефектов на прочность твердых тел общеизвестно. Представляет поэтому интерес рассмотреть их влияние на вид структурного критерия разрушения. Для этого, опираясь на решение задачи о трещине Гриффитса [10], найдем, к каким результатам приведет применение дискретного критерия прочности, если пределы осреднения напряжений в нем поставить в зависимость от наличия, размера и местоположения дефекта в окрестности края трещины.

1. Дискретно-континуальная модель тела с трещиной и решение задачи Гриффитса [10, 11]. В прямоугольной системе координат  $x_1, x_2, x_3$  плоскость трещины  $\{x_2 = 0\}$  проходит симметрично между двумя смежными параллельными атомными плоскостями твердого тела бесконечных размеров, разделяя его на однородные изотропные линейно упругие полупространства. Интенсивность  $F$  сил сцепления атомных плоскостей определяется взаимодействием только противоположащих атомов. Межатомное взаимодействие задается радиально симметричным центральным парным потенциалом  $v(r)$ ,  $r$  — расстояние между центрами атомов. Типичные графики потенциальной функции  $v(r)$  и абсолютной величины силы взаимодействия  $|f(r)| = |-dv(r)/dr|$  для двух изолированных атомов представлены на фиг. 1 кривыми 1 и 2 соответственно.

Если считать, что рассматриваемые атомные плоскости имеют квадратную структуру и расстояние между центрами атомов — ближайших соседей в них равно  $r_e$ , то интенсивность

$$F(r) = r_e^{-2} f(r) = -r_e^{-2} dv(r)/dr \quad (1.1)$$

где расстояние  $r$  между плоскостями есть функция точки плоскости  $\{x_2 = 0\}$ . У



Фиг. 1

сплошного недеформированного тела без трещины  $r = \text{const} = r_e$  и  $F = F(r_e) = 0$ ; приложение на бесконечности однородного растягивающего напряжения  $\sigma_{22} = \sigma$ , нормального к плоскости  $\{x_2 = 0\}$ , изменяет расстояние  $r$  до величины  $r_e$  такой, что  $F(r_e) = -\sigma$ .

Заметим, что напряжение  $\sigma$  вызывает деформацию сжатия  $e = -(\nu/E)\sigma$  в направлениях  $x_1$  и  $x_3$ ,  $\nu$  — коэффициент Пуассона,  $E$  — модуль Юнга. Если принять, что  $\sigma = (0,01 - 0,1)\sigma_m$ ,  $\nu = 1/3$  (значения, используемые в расчетах п. 3) и  $\sigma_m = (0,2 - 0,5)E$  ( $\sigma_m$  — теоретическая прочность материала), то истинное значение единицы «атомной площади»  $(1 - (\nu/E)\sigma)^2 r_e^2$  составит не менее  $0,96r_e^2$ . Таким незначительным изменением пренебрежем, считая в дальнейшем единицей атомной площади величину  $r_e^2$ .

Если область  $\Omega = \{-l \leq x_1 \leq l, -\infty < x_3 < \infty\}$  плоскости  $\{x_2 = 0\}$  занимает трещина, раскрываемая действием напряжения  $\sigma$ , то в точках границы  $\Omega$  (т. е. на концах трещины)  $r = r_m$ ,  $F = F_m = F(r_m) = r_e^{-2} f_m = -\sigma_m$ ,  $f_m$  — экстремальное значение силы  $f$  (см. фиг. 1). На достаточном удалении от концов трещины внутри ее  $r$  намного превосходит  $r_m$ , тогда как вне ее стремится к  $r_e$ . В силу малости разности  $r_m - r_e$  в сравнении с  $r_m$  принимается  $r = r_m$  всюду вне  $\Omega$ . Вместе с тем распределение интенсивности  $F$  вне  $\Omega$  весьма неоднородно, поэтому считается неизвестной функцией, зависящей уже только от положения точки в плоскости  $\{x_2 = 0\}$ . Внутри трещины неизвестно распределение  $r$ , но предполагается известным вид  $F$  как функции от  $r$  (формула (1.1)).

Решение в рамках описанной модели соответствующей двумерной граничной задачи линейной теории упругости (в условиях плоской деформации) дает зависящее от потенциала взаимодействия распределение нормальных напряжений  $\sigma_{22}$  на продолжении трещины и профиль ее раскрытия.

Нахождение точного решения задачи для сильно нелинейных реалистичных потенциальных функций чрезвычайно затруднительно, поэтому они частично линеаризуются в соответствии с подходом [2]. Вводится радиус обрезания  $r_k$  потенциальной функции и предполагается, что в пределах изменения  $r$  от  $r_m$  до  $r_k$  сила взаимодействия  $f$  постоянна и равна  $f_m$  (см. кривую 3 на фиг. 1);  $r_k$  тогда находится из условия  $(r_k - r_m)f_m = \gamma$ , где  $\gamma$  — плотность поверхностной энергии разрушения. Из наличия радиуса обрезания следует существование у концов трещины внутри нее участков  $\{l_0 \leq |x_1| \leq l\}$  длины  $\Delta = l - l_0$ , на которых действуют постоянные по величине силы сцепления берегов.

С учетом этого распределение нормальных напряжений в плоскости  $\{x_2 = 0\}$  вне трещины таково [10]:

$$\begin{aligned} \sigma_{22}(x_1, 0) = & \sigma - \frac{2}{\pi} \frac{d}{dx_1} \left\{ \frac{\pi\sigma}{2} \left( x_1 - \sqrt{x_1^2 - l^2} \right) - (\pi/2) \sigma_m (x_1 - l_0) + \right. \\ & + \sigma_m \sqrt{x_1^2 - l^2} \arccos(l_0/l) - \sigma_m \left[ l_0 \arcsin \left( \left( \frac{x_1^2 - l^2}{x_1^2 - l_0^2} \right)^{1/2} \right) - \right. \\ & \left. \left. - x_1 \arcsin \left( \frac{l_0}{l} \left( \frac{x_1^2 - l^2}{x_1^2 - l_0^2} \right)^{1/2} \right) \right] \right\} \end{aligned} \quad (1.2)$$

при  $x_1 > l$  (для определенности взят правый конец трещины).

Вследствие равенства  $r(l_0) = r_c$  формула для раскрытия трещины  $r(x_1)$  (см. в [10]) в предположении  $\Delta/l \ll 1$  приводит при  $x_1 = l_0$  к соотношению:

$$(\sigma/\sigma_m)\sqrt{2l/r_e} = (2/\pi)(\sqrt{a} + (\pi/4)(1 - \nu^2)^{-1}\beta/\sqrt{a}) \quad (1.3)$$

Здесь  $a = \Delta/r_e$ , величина  $\beta = \gamma E(r_e \sigma_m^2)^{-1}$  определяется исходным потенциалом взаимодействия.

В критическом состоянии трещины, согласно дискретному критерию прочности Новожилова [2];

$$\frac{1}{r_e} \int_l^{l+r_e} \sigma_{22}(x_1, 0) dx_1 = \sigma_m \quad (1.4)$$

осреднение напряжений производится в пределах ближайшей к концу трещины пары атомов. Подставляя (1.2) в (1.4) при условиях  $\Delta/l \ll 1$ ,  $r_e/l \ll 1$  и сопоставляя результат с (1.3), имеем для определения  $a$  в критическом состоянии уравнение

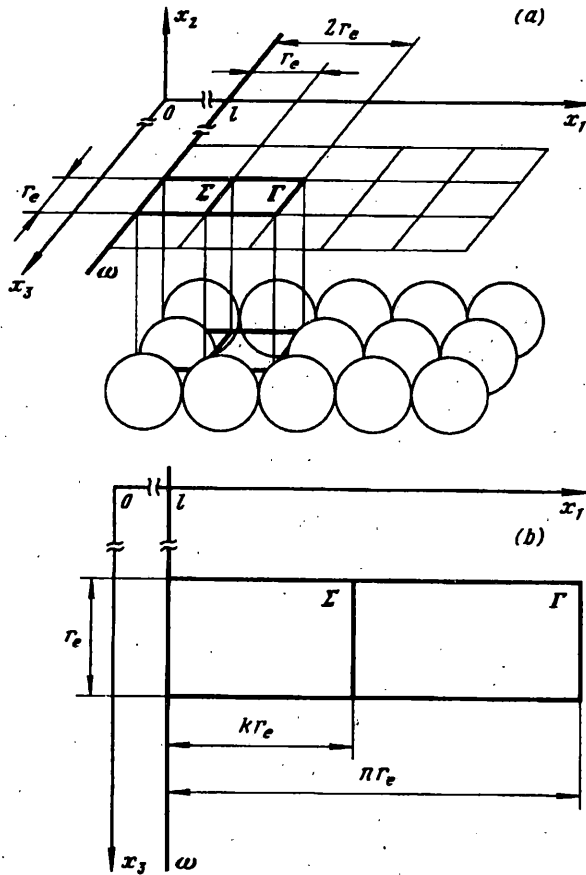
$$a + \sqrt{a} (1 + a) \arcsin((1 + a)^{-1/2}) = (\pi/4)(1 - \nu^2)^{-1}\beta \quad (1.5)$$

которое в паре с (1.3) позволяет найти предельные значения параметров задачи, обозначаемые в дальнейшем буквами с индексом  $N$ .

**2. Дефект перед трещиной: модель, критерий локального разрушения и расчетные формулы.** Предположим теперь, что одна или обе атомные плоскости, разделяемые трещиной, содержат перед ее краем (для определенности правым) локальный дефект, проявляющийся в отсутствии действия сил сцепления через соответствующий участок  $\Gamma$  плоскости  $\{x_2 = 0\}$  (фиг. 2). Это может быть, например, вакансия или кластер из нескольких вакансий [13]; расстояния между противоположными атомами из числа окаймляющих такой дефект даже с учетом релаксации превосходят введенный выше радиус обрезания линеаризованных потенциалов (составляющий (1,25—1,75)  $r_e$  для разных потенциалов).

Отвлекаясь в дальнейшем от физической природы вводимого дефекта, релаксацию атомов не будем учитывать. В силу точечного характера дефекта пренебрежем его влиянием на создаваемое трещиной поле напряжений, считая формулу (1.2) сохраняющей справедливость. Соотношения (1.3) введение дефекта не затрагивает.

Отсутствие сил сцепления на  $\Gamma$  вызывает перераспределение нагрузки на атомные связи, пересекающие плоскость  $\{x_2 = 0\}$  на соседних с  $\Gamma$  участках. Это может привести к подаче сверхкритических усилий на ближайшие к краю трещины связи, следствием чего будет их разрыв и локальное продвижение трещины с образованием перегиба линии  $\omega$  ее края (см. фиг. 2). Для фиксированной длины трещины  $2l$  соответствующий критический уровень  $\sigma_*$  внешних напряжений  $\sigma$  может отличаться от рассчитываемого для бездефектного тела с трещиной [10].



Фиг. 2

Для упрощения количественного анализа будем считать, что границы дефектной области  $\Gamma$  удалены в направлении  $x_1$  на расстояния  $kr_e$  и  $nr_e$  от линии края трещины  $\omega$  (на которой  $x_1 = l$ ). Целые положительные числа  $k, n$  подчиняются соотношению  $n \geq k \geq 1$ , случай  $n = k$  соответствует отсутствию дефекта. Протяженность дефекта в направлении  $x_1$  (величину  $(n - k)r_e$ ) будем называть, как у трещины, длиной, а в направлении  $x_2$  — шириной, которую для простоты положим равной  $r_e$ . В дальнейшем ограничимся вполне реальной и в достаточной степени отвечающей нашим целям ситуацией, когда длина дефекта и его расстояние от трещины невелики, не более 3—4 межатомных расстояний  $r_e$ .

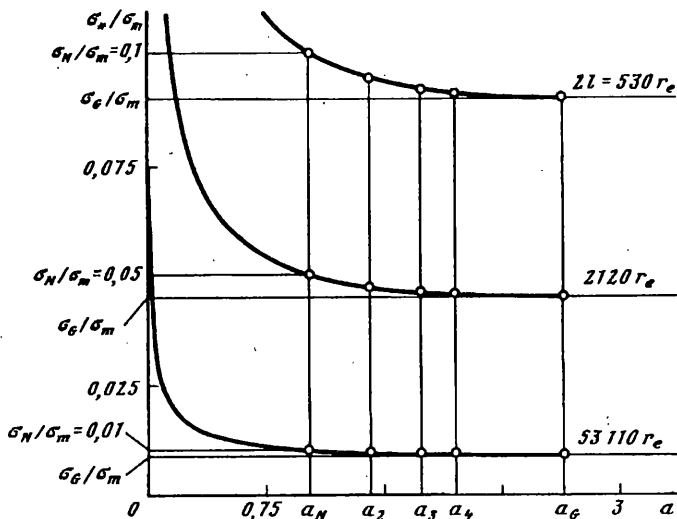
Если считать, что нагрузка, приходящаяся на  $\Gamma$ , распределяется только по атомным связям, пересекающим область  $\Sigma$  (фиг. 2), то среднее значение нормальных напряжений на  $\Sigma$  равно

$$\langle \sigma_{22} \rangle_{\Sigma} = \frac{1}{kr_e^2} \iint_{\Gamma \cup \Sigma} \sigma_{22}(x_1, 0, x_3) dx_1 dx_3 \quad (2.1)$$

где  $kr_e^2$  — площадь  $\Sigma$ . Условием разрушения на участке  $\Sigma$  будет

$$\langle \sigma_{22} \rangle_{\Sigma} \geq \sigma_m \quad (2.2)$$

при его выполнении трещина получает возможность локального продвижения сразу на всю область  $\Sigma$  до соединения с дефектом. Поскольку определяемое



Фиг. 3

формулой (1.2) распределение нормальных напряжений не зависит от  $x_3$ , условие разрушения (2.2) приобретает вид

$$\frac{1}{kr_e} \int_1^{l+nr_e} \sigma_{22}(x_1, 0) dx_1 \geq \sigma_m \quad (2.3)$$

При  $n = k = 1$  имеем отсутствие дефекта и формулировку дискретного критерия разрушения В. В. Новожилова (1.4).

Для расчета предельных характеристик задачи применим схему [2, 10], изложенную в конце п. 1, заменив в ней критерий разрушения (1.4) на условие (2.3), взятое со знаком равенства. Подставив в него формулу (1.2), получаем (в предположении  $\Delta/l \ll 1$ ,  $r_e/l \ll 1$ ), что при заданной величине  $\sigma$  приложенных к телу напряжений критическая длина трещины  $2l_*$  такова, что

$$(\sigma/\sigma_m)\sqrt{2l_*/r_e} = (2/\pi)[2\sqrt{a} + (1/\sqrt{n})(n+a) \arcsin((1+(a/n))^{-1/2}) - (\pi/2)(n-k)/\sqrt{n}] \quad (2.4)$$

Соотношение (1.3) при  $l = l_*$  дает

$$(\sigma/\sigma_m)\sqrt{2l_*/r_e} = (2/\pi)[\sqrt{a} + (\pi/4)(1-v^2)^{-1}\beta/\sqrt{a}] \quad (2.5)$$

Сравнивая (2.4) и (2.5), имеем уравнение

$$a + \sqrt{a/n}((n+a) \arcsin((1+(a/n))^{-1/2}) - (\pi/2)(n-k)) = \pi\beta(1-v^2)^{-1/4} \quad (2.6)$$

из которого, зная закон взаимодействия атомов (определяющий величину  $\beta$ ), длину дефекта  $(n-k)r_e$  и его удаление от конца трещины  $kr_e$ , можно отыскать  $a = \Delta/r_e$ . Критическая длина трещины  $2l_*$  находится тогда из соотношения (2.5). Формулы (1.3), (2.6) позволяют решить и обратную задачу: определить по заданной длине трещины  $2l$  критическую величину  $\sigma_*$  растягивающего напряжения  $\sigma$ .

Для дальнейшего важно будет установить характер функциональных зависимостей  $\sigma_*(a)$  и  $l_*(a)$ , получаемых из (1.3) при фиксированных  $\beta$ ,  $l$  и  $\beta$ ,  $\sigma$  со-

$n$	1	2	3	4	
$a$	$a_N = 1,039$	1,448	1,728	1,948	$a_G = 2,651$
$\frac{2l_*}{r_e}$	530	470	450	440	430
	2120	1880	1800	1760	1720
	53110*	47025	44970	44000	43000

ответственно. Отметим прежде всего, что  $n$  и  $k$  не входят явно в (1.3). Далее, при

$$a = a_G = \pi\beta (1 - \nu^2)^{-1}/4 \quad (2.7)$$

правая часть (1.3) достигает минимума, причем на промежутке  $(0, a_G)$  указанные функции убывают, а при  $a > a_G$  возрастают, имея бесконечные пределы на концах области определения  $(0, +\infty)$ . Минимальные значения в точке  $a_G$  равны

$$\sigma_*(a_G) = \sigma_G = \left( \frac{4\gamma E}{\pi(1-\nu^2)2l} \right)^{1/2} = \left( \frac{4\beta}{\pi(1-\nu^2)(2l/r_e)} \right)^{1/2} \sigma_m \quad (2.8)$$

$$2l_*(a_G) = 2l_G = \frac{4\gamma E}{\pi(1-\nu^2)\sigma^2} = \frac{4\beta r_e}{\pi(1-\nu^2)(\sigma/\sigma_m)^2} \quad (2.9)$$

и суть не что иное, как критическое напряжение и критическая длина трещины по Гриффитсу. Графическое представление зависимости  $\sigma_*(a)/\sigma_m$  дано на фиг. 3.

3. Обсуждение результатов расчетов. Расчеты по формулам (1.3), (2.6) проводились для потенциалов Морса

$$v(r) = D (\exp(-2\alpha(r-r_e)) - 2 \exp(-\alpha(r-r_e))) \quad (3.1)$$

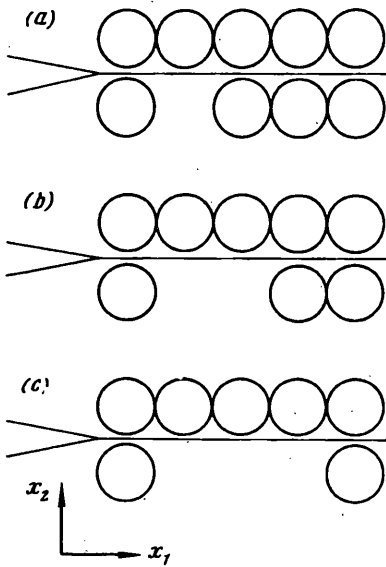
и Леннард — Джонса

$$v(r) = D ((r_e/r)^{12} - 2(r_e/r)^6) \quad (3.2)$$

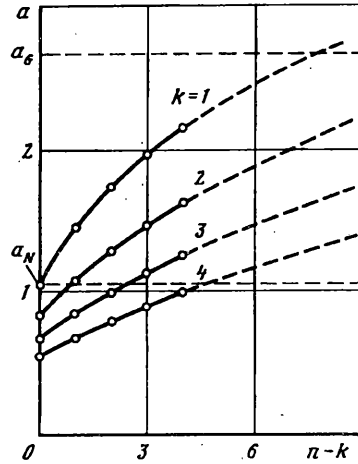
где  $D, \alpha, r_e$  — параметры потенциалов; значения  $\beta$  равны соответственно 3 и 3,92 [10]. Коэффициент Пуассона  $\nu$  считался равным 1/3.

В таблице приведены результаты расчета величины  $a$  и критической длины трещины  $2l_*$  для потенциала Морса при  $k=1, n=1, 2, 3, 4$  и тех же значениях отношения  $\sigma/\sigma_m$ , что брались в [10]: 0,1 (верхняя строка в графе  $2l_*/r_e$ ); 0,05 (средняя строка); 0,01 (нижняя). Числа из первой колонки таблицы ( $n=1$ ) отвечают отсутствию дефекта и использованию критерия Новожилова (1.4), поэтому совпадают с найденными в [10] (звездочкой помечено уточненное значение). При  $n \geq 2$  дефект длиной  $(n-1)r_e$  располагается на расстоянии  $r_e$  от края трещины, что схематически изображено на фиг. 4,  $a, b, c$  для  $n=2, 3, 4$  соответственно (для  $n=2$  см. также фиг. 2,  $a$ ). Последняя колонка таблицы содержит значения  $a_G$  и  $2l_G/r_e$ , рассчитанные по формулам (2.7), (2.9). Как видно из таблицы, существенного изменения критической длины трещины не происходит даже при трехкратном превышении длиной дефекта его расстояния от трещины: величина  $2l_*/r_e$  при  $n=4$  составляет приблизительно 83% от  $2l_N/r_e$ , вычисляемой по критерию Новожилова (1.4) при  $n=1$  (для потенциала Леннард — Джонса 85%), причем с ростом  $n$  темп понижения длины падает до совсем незначительного, а сама длина  $2l_*$  приближается к гриффитсовскому значению  $2l_G \approx 0,81(2l_N)$ .

Если решать по формуле (1.3) обратную задачу нахождения для заданной длины трещины  $2l$  критического внешнего напряжения  $\sigma_*$ , то последнее ведет



Фиг. 4



Фиг. 5

себя сходным образом. На фиг. 3 изображены кривые зависимости отношения  $\sigma_*/\sigma_m$  от  $a$  для потенциала Морса при безразмерных длинах трещины, взятых из первой колонки таблицы. Значения  $a_N, a_G, a_n$  ( $n=2, 3, 4$ ) см. там же в соответствующей строке. Отношение  $\sigma_*/\sigma_m$ , равное  $\sigma_N/\sigma_m$  при  $n=1$ , с ростом  $n$  от 1 до 4 уменьшается всего на 9% (менее 8% при потенциале Леннард — Джонса). Отметим, что эти цифры оказываются завышенными вследствие предположения о перераспределении нагрузки с дефектной области  $\Gamma$  целиком на область  $\Sigma$ .

Из (2.6) следует, что если при фиксированном расстоянии дефекта от трещины  $kr_e$  увеличивать длину дефекта  $(n-k)r_e$ , то значение  $a$  возрастает, приближаясь к  $a_G$  (см. фиг. 5, где штриховые линии отражают характер зависимости величины  $a$  от значений  $n-k$ , выходящих за рамки принятых в п. 2 ограничений). Для разных  $k$  и  $n-k$  значения  $a$  могут оказаться как больше, так и меньше  $a_N$ , вычисленного с использованием критерия В. В. Новожилова (1.4). Обратимся снова к изображенной на фиг. 3 зависимости  $\sigma_*(a)/\sigma_m$  и рассмотрим случай, когда  $a > a_N$ . График показывает, что тогда  $\sigma_G < \sigma_*(a) < \sigma_N$ , т. е. критическое напряжение, вычисленное по критерию (2.3), хотя и оказывается меньше  $\sigma_N$ , вычисленного «по Новожилову», однако отличается от него не более, чем на 10%, так как  $\sigma_G \approx 0,9\sigma_N$ . Этот случай имел место в представленных выше расчетах при  $k=1$ .

Если же  $a < a_N$ , то рассчитываемая по критерию (2.3) критическая нагрузка превышает  $\sigma_N$ . Так происходит, если  $k > 1$  (фиг. 5). Поскольку осреднение напряжений в критерии (2.3) ведется тогда по двум или более атомным связям, очевидно, что одновременный разрыв нескольких связей перед трещиной требует приложения большей нагрузки, чем разрыв одной, как в критерии В. В. Новожилова (1.4). Критерий (2.3) в этом случае дает завышенный уровень критических напряжений.

Итак, в условиях данной задачи критерий хрупкой прочности в форме (2.3), учитывающий наличие, размер и расположение перед трещиной локального дефекта атомной решетки, приводит к величинам предельных характеристик, незначительно отличающимся в меньшую сторону от рассчитываемых по критерию В. В. Новожилова (1.4), а в ряде случаев и превышающим последние. Тем самым вполне оправданным будет применять в подобных модельных расчетах дискретный критерий хрупкой прочности В. В. Новожилова (1.4), используя

учитывающий дефектность структуры критерий (2.3) для возможного уточнения результатов.

4. Диапазон возможных длин равновесных трещин и решеточный захват. По расчетной схеме, основывающейся на критерии разрушения (1.4), В. В. Новожиловым был выполнен для задачи Гриффитса расчет диапазона возможных длин равновесных трещин, соответствующего заданному уровню нагружения [2]. Аналогичный расчет был проделан в [7] для краевой трещины нормального отрыва. В обоих случаях указанный диапазон имеет вид интервала

$$2l_G < 2l < 2l_N \quad (4.1)$$

в обозначениях настоящей работы.

Из результатов п. 3 следует, что в рассмотренной задаче о теле с трещиной и дефектом нижней границей интервала длин также будет  $2l_G$  — критическая длина трещины по Гриффитсу (2.9). Что касается верхней границы, то вследствие формы критерия разрушения (2.3) она зависит от характеризующих дефект чисел  $k$  и  $n$ . Если  $k$  и  $n$  таковы, что соответствующая им величина  $a > a_N$  (фиг. 5), то верхней границей диапазона длин будет  $2l_*(a)$ . Если же  $a < a_N$ , то предельные характеристики задачи должны рассчитываться по критерию В. В. Новожилова, и диапазон длин имеет вид (4.1).

Как показано в [14, 15], схема В. В. Новожилова [2] позволяет наряду с диапазоном равновесных длин трещины при заданной нагрузке получить также интервал допустимых уровней нагрузки для заданной длины трещины:  $\sigma_- < \sigma < \sigma_+$ , где  $\sigma_+$  — максимальная нагрузка, при которой трещина данной длины еще не распространяется,  $\sigma_-$  — минимальная нагрузка, при которой трещина еще не залечивается. Ранее Р. Томсон и другие, обнаружив существование подобного интервала в рассматривавшейся ими модельной задаче, ввели понятие решеточного захвата и его меры — отношения  $R = \sigma_+/\sigma_-$  (см., например, [16]), представив  $R$  как некоторую характеристику материала.

Вычисления величины  $R$  проводились рядом исследователей на базе различных подходов. В частности, авторы [14, 15] рассчитали  $R$  на основе данных [2, 7] и получили, что эта величина в схеме В. В. Новожилова зависит от параметра  $\beta$ , определяемого моделью межатомного взаимодействия (см. пояснения к формуле (1.3)), что оправдывает рассмотрение  $R$  в качестве характеристики материала.

Фигурировавшие в [2] нереалистичные значения  $\beta$  были уточнены в [10] для межатомных потенциалов Морса и Леннард — Джонса (см. (3.1), (3.2)). Найдем для них величину  $R$ , сначала по схеме п. 1, а затем с учетом дефекта перед трещиной.

Имеем при условии (1.4):  $\sigma_- = \sigma_G$ ,  $\sigma_+ = \sigma_N$ ,  $\sigma_N$  находится из (1.3) при  $a = a_N$ ,  $\sigma_G$  см. в (2.8). Используя связь (2.7) между  $\beta$  и  $a_G$ , получаем после преобразований

$$R = \sigma_N/\sigma_G = 1/2 (\sqrt{a_N/a_G} + \sqrt{a_G/a_N})$$

По данным таблицы определяем для потенциала Морса  $R \approx 1,112$  (1,099 для потенциала Леннард — Джонса). Отметим, что найденные значения решеточного захвата, вычисленные на основе критерия прочности В. В. Новожилова, дискретно-континуальной модели тела с трещиной [11] и реалистичных потенциальных функций, хорошо согласуются с приводимыми в [15—16] результатами других исследований.

Если теперь вести расчеты с учетом дефекта, находя  $a$  в соответствии с критерием (2.3), при  $a < a_N$  будем иметь по-прежнему  $\sigma_+ = \sigma_N$  в силу неравенства  $\sigma_*(a) > \sigma_N$ , т. е. величина решеточного захвата в этом случае не изменяется. Если же  $a > a_N$ , то  $\sigma_*(a) < \sigma_N$  и следует положить  $\sigma_+ = \sigma_*(a)$ , поэтому значение  $R$  уменьшится  $R = \sigma_*(a)/\sigma_G = 0,5 (\sqrt{a/a_G} + \sqrt{a_G/a})$ . Так, при  $k = 1$ ,  $n = 4$  и потенциале Морса  $R$  составит 1,098.



## СПИСОК ЛИТЕРАТУРЫ

1. Новожилов В. В. О необходимом и достаточном критерии хрупкой прочности//ПММ. 1969. Т. 33. Вып. 2. С. 212—222.
2. Новожилов В. В. К основам теории равновесных трещин в упругих телах//ПММ. 1969. Т. 33. Вып. 5. С. 797—812.
3. Морозов Н. Ф. Исследование разрушающей нагрузки для области, ослабленной вырезом в виде лунки//ДАН СССР. 1980. Т. 253. № 6. С. 1336—1338.
4. Морозов Н. Ф., Семенов Б. Н. Применение критерия хрупкого разрушения В. В. Новожилова при определении разрушающих нагрузок для угловых вырезов в условиях сложного напряженного состояния//Изв. АН СССР. МТТ. 1986. № 1. С. 122—126.
5. Мовчан А. Б., Морозов Н. Ф., Назаров С. А. О разрушении вблизи пикообразных включений при посадке с натягом//Пластичность и разрушение твердых тел: Сб. научных трудов. Сер. Прочность и вязкоупругопластичность. М.: Наука, 1988. С. 137—145.
6. Мовчан А. В. Хрупкое разрушение упругой плоскости, содержащей тонкий прямоугольный вырез//Вестн. ЛГУ. Сер. 1. Математика, механика, астрономия. 1988. Вып. 1. С. 63—67.
7. Зорин И. С., Морозов Н. Ф., Чернышева Н. В. О равновесных трещинах, выходящих на границу упругого тела//ФХММ. 1988. Т. 24. № 3. С. 63—68.
8. Морозов Н. Ф., Петров Ю. В., Уткин А. А. К расчету предельной интенсивности импульсных динамических нагрузок в механике трещин//Изв. АН СССР. МТТ. 1988. № 5. С. 180—182.
9. Лебедев Д. Ф. Хрупкое разрушение упругой составной плоскости с клиновидным вырезом//Изв. АН Арм. ССР. Сер. Механика. 1990. Т. 43. № 2. С. 12—22.
10. Андреев А. В., Корнев В. М., Тихомиров Ю. В. Обрыв атомных связей в вершине трещины. Потеря устойчивости участка цепочки атомов//Изв. РАН. МТТ. 1993. № 5. С. 135—146.
11. Chan D. Y. C., Hughes B. D., White L. R. A physically consistent theory of fracture in a brittle solid//J. Colloid and Interface Sci. 1987. V. 115. № 1. P. 240—259.
12. Панасюк В. В. Предельное равновесие хрупких тел с трещинами.— Киев: Наук. думка, 1968. 246 с.
13. Предводителев А. А., Тяпунина Н. А., Зиненкова Г. М., Бушуева Г. В. Физика кристаллов с дефектами. М.: МГУ, 1986. 238 с.
14. Морозов Н. Ф., Паукито М. В. К вопросу о «решетчатом захвате»//ДАН СССР. 1988. Т. 299. № 2. С. 323—325.
15. Морозов Н. Ф. Проблемы хрупкого разрушения и их исследование методами теории упругости//Механика и научно-технический прогресс. Т. 3. Механика деформируемого твердого тела. М.: Наука, 1988. С. 54—63.
16. Атомистика разрушения: Сб. статей 1983—1985 гг./Сост. А. Ю. Ишлинский. М.: Мир. 1987. 245 с.

Новосибирск

Поступила в редакцию  
5.I.1994